

# **Appunti di Visione Artificiale**

**Riccardo Lo Iacono**

Dipartimento di Matematica & Informatica  
Università degli studi di Palermo  
Sicilia  
a.a. 2022-2023

## Indice.

<b>1</b>	<b>Introduzione: il sistema visivo umano</b>	<b>2</b>
1.1	Immagini digitali . . . . .	2
<b>2</b>	<b>Teorema del campionamento e sistemi di output</b>	<b>3</b>
2.1	Sistema di output a scala di grigio . . . . .	3
2.2	Sistemi di output a colori . . . . .	3
<b>3</b>	<b>Spazi-colore</b>	<b>4</b>
3.1	Spazio-colore RGB . . . . .	4
3.2	Spazio colore RGB: CCD e filtro di Bayer . . . . .	4
3.3	Spazio colore HSL/HSV . . . . .	4
3.4	Spazio colore YUV . . . . .	5
3.5	Altre nozioni sugli spazi colore . . . . .	5
<b>4</b>	<b>Operatori lineari e convoluzione</b>	<b>6</b>
4.1	Convoluzione . . . . .	7
4.2	Filtro di convoluzione blur . . . . .	7
4.3	Filtro mediano . . . . .	9
4.4	Filtro di sharpening . . . . .	10
4.5	Filtro gradiente . . . . .	11
4.6	Filtro laplaciano . . . . .	13
4.7	Filtri Prewitt e Sobel . . . . .	14
<b>5</b>	<b>Immagini indicizzate e quantizzazione</b>	<b>15</b>
5.1	Quantizzazione . . . . .	15
5.2	Dithering . . . . .	16
<b>6</b>	<b>Formati grafici</b>	<b>18</b>
6.1	HAM6 ed HAM8 . . . . .	18
6.2	GIF . . . . .	19

## – 1 – Introduzione: il sistema visivo umano.

Come si vede in *Figura 1.1*, l'occhio umano ha una conformazione per lo più sferica. Si circonda da quattro membrane: *cornea* e *sclera*, che lo coprono dall'esterno, *coroide* e *retina*.

Circa la visione in se, questa è permessa da recettori luminosi posti sulla retina. Tali recettori sono distinti per struttura e funzionalità, si hanno i *bastoncelli* e *coni*.

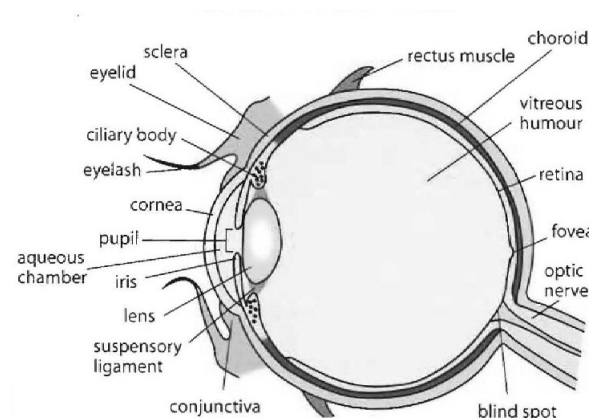


Figura 1.1: Struttura dell'occhio umano.

Analizzando le funzionalità dei due, i recettori conici sono disposti nella parte centrale dell'occhio, la *fovea*, sono molto sensibili alle variazioni di colore, e ciascun recettore è connesso ad un proprio terminale nervoso. Sono responsabili della visione *fotopica* (visione a colori). I bastoncelli, distribuiti su tutta la retina e soggetti alle variazioni luminose, connessi ad un terminale nervoso comune, hanno lo scopo di fornire un'immagine generale. Sono responsabili della visione *scotopica* (visione a scala di grigi).

Osservando *Figura 1.1*, si osserva che è presente una porzione dell'occhio, quella da cui di base si estende il nervo ottico, che è priva di recettori: tale punto è detto

*blind spot*, proprio perché non contribuisce alla visione. Si potrebbe pertanto pensare che la presenza di questo punto cieco, possa creare una sorta di vuoto nell'immagine. Da un punto di vista tecnico, è così. Per quel che riguarda la visione, così non è: le informazioni carpite dagli occhi giungono al cervello passando per il *chiasma*, essendo questi un “canale” comune, trasferisce in contemporanea informazioni di entrambi gli occhi, permettendo al cervello di ottenere un'immagine “pulita”.

**Osservazione:** la visione non è globale: ossia nella realtà dei fatti ad essere messa a fuoco non è l'intera scena, quanto più una piccola porzione della stessa, quella perpendicolare alla fovea per la precisione, la nitidezza del resto dell'immagine è dovuta al cervello.

### – 1.1 – Immagini digitali.

Una qualsiasi immagine digitale  $I$ , può essere vista come una funzione

$$I = \{(i, j, g) : i \in \{0, \dots, W-1\}, j \in \{0, \dots, H-1\}, g \in \{0, \dots, G-1\}\}$$

dove  $W, H, G$  rappresentano rispettivamente i valori massimi di larghezza, altezza e livello di grigio<sup>1</sup> dell'immagine. Si deduce banalmente che la qualità dell'immagine sia dipendente dalla codifica di tali parametri. In generale si deve avere che

$$\begin{aligned} i &= \min \{ \lfloor W \times (x - x_{\min}) / (x_{\max} - x_{\min}) \rfloor, W-1 \} \\ j &= \min \{ \lfloor H \times (y - y_{\min}) / (y_{\max} - y_{\min}) \rfloor, H-1 \} \\ g &= \min \{ \lfloor G \times (l - l_{\min}) / (l_{\max} - l_{\min}) \rfloor, G-1 \} \end{aligned}$$

<sup>1</sup>A meno che non sia esplicitato, saranno considerati valori di grigio nel range  $[0, 255]$ .

## – 2 – Teorema del campionamento e sistemi di output.

Sia assunto che l'immagine ammette frequenze massime  $v_x$  e  $v_y$ . Supponendo di dover campionare l'immagine, è così possibile determinare l'ampiezza campionante ad intervalli spaziali, dati dalle seguenti espressioni.

$$\Delta_x = \frac{1}{2v_x} \quad \Delta_y = \frac{1}{2v_y}$$

Nel caso di pixel quadrati si impone  $\Delta = \min\{\Delta_x, \Delta_y\}$ .

Parlando di effettivo campionamento, si identificano principalmente tre casi, casi dai quali banalmente dipende la qualità del segnale. Questi sono

- *sotto-campionamento*: il numero di campioni del segnale da campionare, non è sufficiente a ricostruire il segnale di partenza;
- *campionamento critico*: si campiona il segnale con un numero sufficiente di campioni, permettendo di ripristinare il segnale;
- *sovra-campionamento*: il segnale è perfettamente ricostruibile, ma il numero di campioni è eccessivo.

### – 2.1 – Sistema di output a scala di grigio.

Il sistema a scala di grigi che si considera è il *tubo catodico*. Questi si compone di un tubo di vetro, mantenuto a bassissima pressione, alle cui estremità sono posti due elettrodi collegati ad un generatore di corrente. Quando la differenza di potenziale tra gli elettrodi è elevata, e inoltre la pressione scende sotto le  $10^{-6}$  atm, il vetro di fronte emette luminescenza. Grazie agli elettronica, con l'uso di magneti è possibile far cambiare direzione al flusso degli elettroni, secondo un percorso *raster*<sup>2</sup>;

L'utilizzo di tale tecnologia non permetteva a volte di trasmettere a 25 fotogrammi al secondo, quantità minima di frame affinché l'immagine risulti fluida. In questi casi si procedeva con una trasmissione interlacciata: si trasmettevano cioè prima tutte le righe dispari, poi quelle pari. Motivo di tale scelta è il fatto che ad illuminarsi non è unicamente il pixel, quanto più un'areola leggermente più ampia; facendo così dunque si illuminava anche parte dei pixel delle righe pari.

### – 2.2 – Sistemi di output a colori.

Davanti ciascun pixel è posta una ghiera di tre filtri: uno rosso, uno verde e uno blu. L'immagine segue sempre un percorso raster, solo che al posto di illuminare un solo pixel, procede con l'illuminare uno o più filtri.

**Osservazione:** i colori risultanti sono dati dalla combinazione dei tre filtri, secondo il modello RGB.

---

<sup>2</sup>L'immagine viene visualizzata a partire dal pixel più in alto a sinistra, procedendo per l'intera riga, e iniziando nuovamente dal pixel più a sinistra della riga successiva.

## – 3 – Spazi-colore.

Uno *spazio-colore* è la combinazione di un modello di colore e di una appropriata funzione di mappatura di questo modello. Un modello di colore, infatti, è un modello matematico astratto che descrive un modo per rappresentare i colori come combinazioni di numeri, tipicamente come tre o quattro valori detti componenti colore. Tuttavia questo modello è una rappresentazione astratta, per questo viene perfezionato da specifiche regole adatte all'utilizzo che se ne andrà a fare, creando uno spazio dei colori.

### – 3.1 – Spazio-colore RGB.

L'occhio umano possiede una visione tri-cromatica, permessa come detto in precedenza dai recettori conici. Tramite rappresentazione RGB, a ciascun pizel è associata una terna<sup>3</sup> di byte, potendo definire  $2^{24}$  colori distinti. La rappresentazione di tali colori è facilmente gestibile a livello hardware.

### – 3.2 – Spazio colore RGB: CCD e filtro di Bayer.

Il CCD è un dispositivo che conta quanti fotoni sono presenti in un areola, maggiore è tale numero, maggiore l'illuminazione dell'areola.

**Osservazione:** il CCD non è molto sensibile alle variazioni di luce, si ha quindi una soglia limite entro la quale i fotoni sono considerati.

È evidente che il CCD sinora descritto non permette che l'acquisizione di immagini in scala di grigio. Per far sì che il CCD descritto permetta l'acquisizione di immagini a colore sarebbe necessaria un'areola per colore, ma ciò renderebbe difficile e costosa l'implementazione del CCD.

Per ovviare a tale problema si utilizza il *filtro di Bayer*. Sebbene ne esistano varie versioni, tutte condividono una proprietà comune: in un areola  $2 \times 2$ , due pixel sono verdi, uno rosso e uno blu. Segue che ad essere esatto è un solo colore per volta, i restanti sono ottenuti tramite media.

### – 3.3 – Spazio colore HSL/HSV.

Lo spazio RGB non è l'unico spazio-colore esistente; un altro è infatti lo spazio HSV. Questi, in *Figura 3.1* rappresenta il colore, *hue*, tramite angoli: per convenzione gli zero gradi sono il rosso, i 120 il verde e i 240 il blu. Il livello di saturazione è dipendente dal *chroma*, mentre l'intensità dal *value*.

Ulteriore spazio-colore è HSL. Questi è molto simile ad HSV, infatti può essere visto come un HSV in cui tutti i colori tendenti al bianco, sono raggruppati in un unico punto.

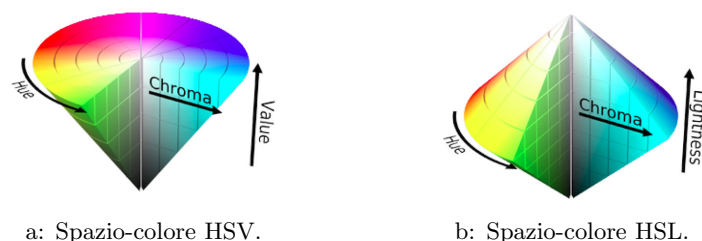


Figura 3.1: Spazi-colore HSV/HSB.

<sup>3</sup>Ad oggi esiste una rappresentazione che fa uso di un quarto bit, per la trasparenza il cosiddetto *alpha channel*.

**– 3.4 – Spazio colore YUV.**

Come tutti gli altri spazi-colore sinora descritti, anche YUV è uno spazio tridimensionale, ove le componenti Y, U, V rappresentano, rispettivamente, i livelli di luminanza e i valori di cromaticanza dell'immagine.

Il passaggio da YUV a RGB è effettuato tramite opportune formule trigonometriche, il viceversa tramite operazioni matriciali.

**– 3.5 – Altre nozioni sugli spazi colore.**

Affinché uno spazio colore sia definito tale, questi deve essere tridimensionale. Per quanto si è detto circa l'occhio umano, seguono due osservazioni.

1. La suddivisione tra canali di luminanza e cromaticanza di YUV, risulta sensata e utile.
2. Conseguenza del punto precedente è il fatto che, qual'ora risultasse utile comprimere l'immagine, tale compressione dovrebbe essere effettuata rispetto la cromaticanza. Ossia, dovendo scegliere tra il rimuovere informazioni relative la luminanza e la cromaticanza, è preferibile la seconda.

## – 4 – Operatori lineari e convoluzione.

Prima di parlare di convoluzione è necessario fare alcune puntualizzazioni. Per prima cosa si farà una distinzione tra operazione matriciale e puntuale. Si considerino le seguenti matrici

$$\begin{pmatrix} a_{11} & a_{12} \\ a_{21} & a_{22} \end{pmatrix} \quad \begin{pmatrix} b_{11} & b_{12} \\ b_{21} & b_{22} \end{pmatrix}$$

per il prodotto matriciale si avrebbe

$$\begin{pmatrix} a_{11} & a_{12} \\ a_{21} & a_{22} \end{pmatrix} \times \begin{pmatrix} b_{11} & b_{12} \\ b_{21} & b_{22} \end{pmatrix} = \begin{pmatrix} a_{11}b_{11} + a_{12}b_{21} & a_{11}b_{12} + a_{12}b_{22} \\ a_{21}b_{11} + a_{22}b_{21} & a_{21}b_{12} + a_{22}b_{22} \end{pmatrix}$$

per quello punto-punto risulta invece

$$\begin{pmatrix} a_{11} & a_{12} \\ a_{21} & a_{22} \end{pmatrix} \times \begin{pmatrix} b_{11} & b_{12} \\ b_{21} & b_{22} \end{pmatrix} = \begin{pmatrix} a_{11}b_{11} & a_{12}b_{12} \\ a_{21}b_{21} & a_{22}b_{22} \end{pmatrix}$$

Ossia nel prodotto punto-punto ad essere moltiplicati sono gli elementi i cui indici coincidono, pertanto le matrici coinvolte devono avere le medesime dimensioni

**Nota:** per il resto del documento saranno considerate operazioni punto-punto, se non espressamente specificato.

Ulteriore nozione è quella di operatore lineare. Si ricorda che  $H$  è un operatore lineare se

$$H[\alpha f(x, y) + \beta f(x, y)] = \alpha H[f(x, y)] + \beta H[f(x, y)] \quad (1)$$

Di interesse per l'utilizzo di MATLAB, risultano essere le seguenti operazioni lineari.

$$I^{(0)} = \{(i, j, g) : g = 0\} \implies \text{Immagine completamente nera.}$$

$$I^{(255)} = \{(i, j, g) : g = 255\} \implies \text{Immagine completamente bianca.}$$

$$kI = \{(i, j, g) : g = \min\{G-1, \lfloor k \cdot g \rfloor\}\} \implies \text{Eventuale saturazione a } G$$

$$k + I = \{(i, j, g) : g = \min\{G-1, \lfloor k + g \rfloor\}\} \implies \text{Eventuale saturazione a } G$$

$$\min\{I_1, I_2\} = \{(i, j, g) : g = \min\{g_1, g_2\}\} \implies \text{Immagine risultante è più scura}$$

$$\max\{I_1, I_2\} = \{(i, j, g) : g = \max\{g_1, g_2\}\} \implies \text{Immagine risultante è più chiara}$$

$$I_1 + I_2 = \{(i, j, g) : g = \min\{G-1, g_1 + g_2\}\} \implies \text{Eventuale saturazione a } G$$

$$I_1 \times I_2 = \{(i, j, g) : g = \lfloor (g_1 \cdot g_2) / G - 1 \rfloor\} \implies \text{Eventuale saturazione a } G$$

### – 4.1 – Convoluzione.

La convoluzione è un operatore lineare, e in quanto tale soddisfa l'Equazione 1. Essa può essere utilizzata in vari modi, ma tutti sono accomunati da un elemento comune il *kernel*. In maniera sintetica, si pensi al kernel come una matrice i cui valori fanno da pesi alla convoluzione.

### – 4.2 – Filtro di convoluzione blur.

Un filtro di convoluzione blur, o filtro di media, come suggerisce il nome, applica una sfocatura all'immagine. Concettualmente, considerata un'immagine  $I$ , si crea un kernel  $K$  con appositi valori e dimensioni, con lo scopo di creare una nuova immagine  $I'$ , secondo il seguente processo.

Partendo dal pixel più a sinistra e in alto dell'immagine  $I$ , si sovrappone alla stessa  $K$ . Si procede effettuando un prodotto punto-punto tra gli elementi dell'immagine e il kernel, e se ne effettua una media. Su una nuova immagine  $I'$  si aggiunge, nelle coordinate indicate dall'elemento centrale del kernel, un pixel il cui colore è determinato dalla media precedentemente calcolata. Si ripete il processo per tutta l'immagine, spostando  $K$  secondo una logica raster.

Per comprendere l'effettivo funzionamento del filtro, si supponga di dover applicare a Figura 4.1 una sfocatura. Come anticipato, la sfocatura dell'immagine è dipendente dalle dimensioni e dai valori del kernel. Dunque al fine di comprendere tale differenza siano considerate Figura 4.2, ottenuta tramite convoluzione con un kernel  $3 \times 3$  i cui pesi sono tanto maggiori, tanto più vicini al centro; e Figura 4.3 (mostrata nella sezione a seguire) ottenuta per convoluzione con un kernel  $21 \times 21$ , i cui pesi sono tutti unitari.

Partendo col considerare Figura 4.2, che come detto è ottenuta per convoluzione con il kernel  $3 \times 3$  prima citato, questa risulta pressoché immutata, cosa che invece non accade in Figura 4.3 utilizzato il kernel  $21 \times 21$ . La sfocatura è così minima da risultare impercettibile, sebbene se osservate da molto vicino risulta presente.



Figura 4.1: LenaGS

Sia ora considerato il seguente codice MATLAB.

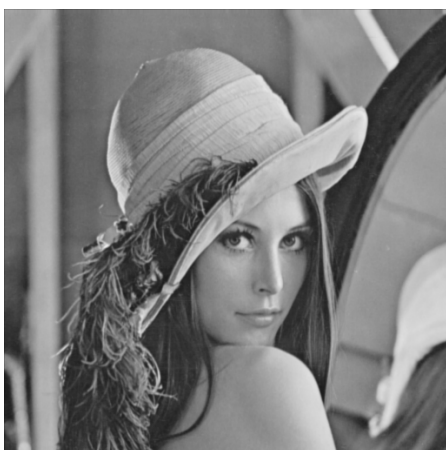


Figura 4.2: Convoluzione di Figura 4.1, versione kernel  $3 \times 3$ .

```
% caricamento dell'immagine Lena
ker = [0 4 0; 4 8 4; 0 4 0]/24;
convLena = conv2(single(Lena), ker, 'same');
figure; imshow(uint8(convLena), [0, 255]);
```

Questo è utilizzato per ottenere Figura 4.2. Passando alla sua analisi, l'istruzione `ker = [...]/24;` dichiara *ker* come una matrice  $3 \times 3$ , i cui valori sono normalizzati evitando così perdita di informazioni; l'istruzione `conv2(single(Lena), ker, 'same')` effettua la convoluzione secondo quanto detto, tra l'immagine e *ker*: il parametro 'same' è utilizzato per indicare la convoluzione deve lasciare il bordo immutato, il perché sarà chiaro dopo aver letto la sezione a seguire.

**Nota:** il cast a single, corrispettivo del `float` in C, è necessario per via implementazione della funzione `conv2`; quello a `uint8`, corrispettivo dell'inc in C, non è strettamente necessario.



## – 4.2.1 – Problema ai bordi.

Il filtro di media soffre di un grave problema, il cosiddetto *problema ai bordi*. Sebbene ottenuta con il filtro di blur, *Figura 4.2* sembra non presentare tale problema: si osservi però che il kernel utilizzato è di dimensioni minime, quindi un problema di un pixel di spessore risulta impercettibile.

Per comprendere l'effettiva presenza di tale problema, che tra l'altro non ammette soluzione concreta, si consideri *Figura 4.3*. Questa, ottenuta ottenuta eseguendo il seguente codice MATLAB, presenta evidenti differenze rispetto *Figura 4.2*.

```
% si aggiunge l'immagine trascinandola in MATLAB
ker = ones(21)/441;
convLena = conv2(double(Lena), ker, 'same');
figure; imshow(uint8(convLena), [0, 255]);
```

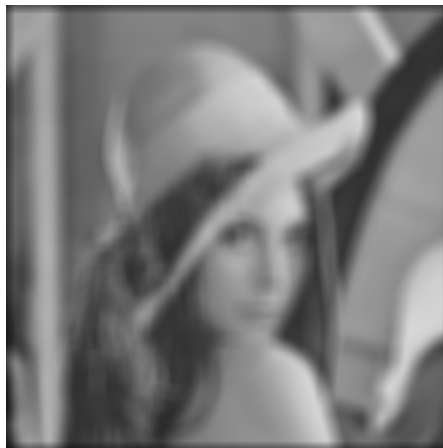


Figura 4.3: Convoluzione di *Figura 4.1*, versione kernel 21x21.

Tralasciando il grado di sfocatura che ovviamente risulta essere maggiore, è evidente la presenza di un bordo tendente al nero.

Si è detto che il filtro blur, come un pò tutti i filtri convolutivi, è soggetto al problema ai bordi. Ciò non è però sorprendente: proprio per la definizione stessa di filtro di convoluzione, che come ormai noto considera il pixel identificato dall'elemento centrale del kernel, la convoluzione dei pixel al bordo non è possibile, dando così vita al problema.

Come anticipato il problema ai bordi non ammette una soluzione concreta, esistono comunque tecniche che permettono di “alleggerirlo”. Considerandone alcune, queste sono le seguenti

- L'immagine viene estesa in ogni direzione con un bordo di pixel neri. Tale bordo deve essere sufficientemente largo da permettere di effettuare la convoluzione, a seguito della quale l'immagine è ritagliata per ottenere le dimensioni dell'immagine di partenza. È quel che si è fatto con *Figura 4.3* utilizzando il parametro 'same'.
- Si considera la convoluzione esatta: si procede con la convoluzione e si ritaglia l'immagine limitandosi a quei pixel su cui effettivamente è avvenuta la convoluzione, pertanto si riducono le dimensioni dell'immagine. Sebbene si possa considerare la scelta più corretta, si tenga a mente che all'aumentare delle dimensioni del kernel aumenta il numero di pixel di bordo rimossi.
- L'immagine è resa periodica: si ripete l'immagine in ogni direzione e si procede con la convoluzione. Ottima da un punto di vista teorico matematico, risulta pessima in quanto presenta possibili punti di discontinuità di colore, che renderebbero falsata l'immagine finale.
- Si rende l'immagine periodica secondo uno schema a mosaico: similmente a prima l'immagine è ripetuta in tutte le direzioni, con la differenza che l'immagine viene specchiata opportunamente, procedendo successivamente con la convoluzione.

### – 4.3 – Filtro mediano.

Occupandoci di analisi di immagini digitali, capita spesso di aver a che fare con immagini soggette a rumore di varia natura. Risulta dunque necessario poter ottenere un'immagine quanto più possibile priva di rumore. Passando a discutere come porre rimedio a tale problema si consideri *Figura 4.4*. Questa è un'immagine soggetta a rumore “sale e pepe”, così definito perché aggiunge pixel bianchi e neri sparsi quà e là per l'immagine.

Considerando uno dei metodi utilizzati per rimuovere il rumore, si analizza il filtro mediano. Questi è un filtro non convolutivo, che segue una logica molto semplice. Si considera una finestra  $W$  e la si fa scorrere sull'immagine, secondo logica raster, i pixel della finestra sono ordinati per tonalità di colore, e similmente quel che si fa con un filtro convolutivo, si seleziona il pixel centrale di  $W$  e si sostituisce a questi, quello che nella sequenza dei pixel ordinati risulta essere in posizione centrale.

**Osservazione:** il filtro mediano non è perfetto. Questi presenta alcune problematiche, più o meno evidenti a seconda delle dimensioni della finestra. Principali problemi risultano essere quello ai bordi, e il fatto che all'aumentare delle dimensioni della finestra, l'immagine tende a sfocare, finendo col somigliare ad un filtro di media. Infine, del rumore potrebbe non essere eliminato, se la finestra è troppo piccola



Figura 4.4: Clown soggetto a rumore.



Figura 4.5: Filtro mediano applicato a *Figura 4.4*.

Analizzando dunque il caso di *Figura 4.4*, applicando un'opportuna implementazione dell'algoritmo sopra citato, nel codice a seguire è fornito dall'istruzione `medfilt`, si ottiene quanto in *Figura 4.5*.

```
% caricamento dell'immagine con rumore
denoisedClown = medfilt2(NoisyClown);
figure; imshow(denoisedClown, [0, 255]);
```

Nel caso di rumore persistente, si può provare ad adottare una o più delle seguenti tecniche.

1. Si procede con l'applicare nuovamente il filtro, aumentando opportunamente le dimensioni della finestra. Banalmente se si applicasse con le stesse dimensioni, verosimilmente l'immagine risulterebbe immutata.
2. Limitandosi unicamente ai pixel soggetti a rumore, si applica nuovamente il filtro. Utile nel caso di finestre sufficientemente grandi.

#### – 4.4 – Filtro di sharpening.

Altro aspetto legato all'analisi di immagini è il contrasto: si intenda questi come l'accentuazione dei dettagli di un'immagine. L'aumento di contrasto in un'immagine digitale è effettuato tramite i filtri di sharpening. L'idea alla base è molto semplice: proprio perché ciò a cui si è interessati è esaltare i dettagli, se ad un'immagine  $I$  si sottrae una sua convoluzione, eventualmente ottenuta con un filtro di media, quel che si ottiene è un'immagine  $D$  contenente i dettagli di  $I$ . Dunque se ad  $I$  si somma  $D$ , quest'ultima moltiplicata eventualmente per un qualche  $k$ , quel che si ottiene è appunto l'immagine contrastata.

Per comprendere l'applicazione dei filtri di sharpening, si consideri *Figura 4.6*. Applicando ad essa il seguente codice MATLAB, che effettua lo sharpening secondo quanto descritto, quel che si ottiene è mostrato in *Figura 4.7*.

```
% caricamento di BarbaraGS.png
ker = fspecial('average', [5, 5]);
meanB = uint8(conv2(BarbaraGS, ker, 'same'));
sharp = BarbaraGS + 2.5*(BarbaraGS - meanB);
figure; imshow(sharp, [0, 255]);
```



Figura 4.6: BarbaraGS.

Analizzando il codice utilizzato, la funzione `fspecial('average', [5, 5])` è equivalente all'istruzione `ones(5)/25`, cioè essa un kernel  $5 \times 5$  i cui valori sono normalizzati. La restante parte del codice opera secondo la logica precedentemente descritta.



Figura 4.7: *Figura 4.6* sottoposta a filtro di sharpening.

**Nota:** nel codice utilizzato il valore di  $k$  è posto a 2.5 unicamente per permettere di apprezzare l'effettiva applicazione del filtro, in generale valori elevati sono sconsigliati.

Volendo utilizzare una versione del codice meno verbosa, quindi più sintetica e leggibile, il codice precedentemente descritto può essere sostituito con quello a seguire.

```
% caricamento di BarbaraGS.png
sharp = imsharpen(BarbaraGS);
figure; imshow(sharp, [0, 255]);
```

**Osservazione:** si tenga a mente che i due codici sono del tutto equivalenti, nessuna delle due implementazioni è superiore all'altra.

### – 4.5 – Filtro gradiente.

Il filtro gradiente è un filtro digitale che mette in evidenza i contorni di un'immagine, sfruttando il concetto matematico di gradiente. Per tale filtro l'immagine è considerata come una funzione a due variabili  $I(x, y)$ , sulla quale è appunto calcolabile il gradiente. Si ricorda che il gradiente, da un punto di vista matematico, è definito come

$$\nabla I(x, y) = \left( \frac{\partial I}{\partial x} i, \frac{\partial I}{\partial y} j \right)$$

Dalla definizione continua del rapporto incrementale, si può derivare la definizione discreta delle componenti di  $\nabla I(x, y)$ , la quali risultano essere

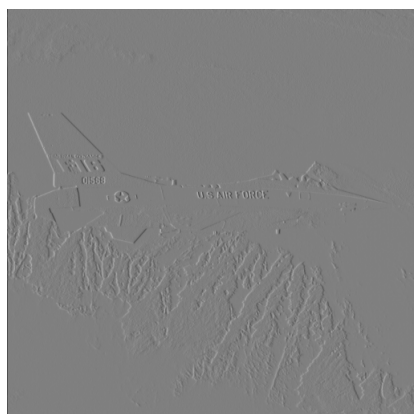
$$\begin{aligned} \frac{\partial I}{\partial x} &\approx I(x, y+1) - I(x, y) = \Delta_x I = \begin{bmatrix} -1 & 1 \end{bmatrix} \\ \frac{\partial I}{\partial y} &\approx I(x+1, y) - I(x, y) = \Delta_y I = \begin{bmatrix} -1 \\ 1 \end{bmatrix} \end{aligned}$$

La definizione data risulta sensata dato che, il pixel  $p_1$  più prossimo ad un pixel  $p_0$  è banalmente quello ad esso adiacente.

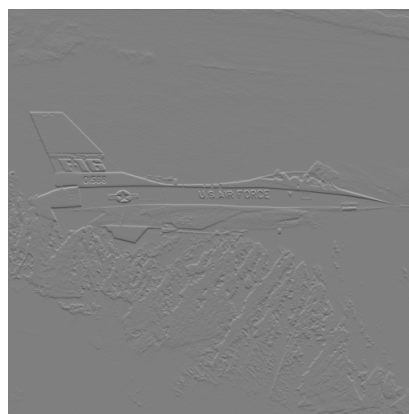
Si consideri ora *Figura 4.8*. Procedendo dunque col calcolare le derivate in ambo le direzioni della stessa, quel che ne risulta è mostrato in *Figura 4.9*. Da questa si evince che calcolare la derivate di un'immagine lungo una direzioni, equivale



Figura 4.8: AirplaneGS



a: Derivata lungo x di *Figura 4.8*



b: Derivata lungo y di *Figura 4.8*

Figura 4.9: Derivate *Figura 4.8*

a mettere in risalto i contorni lungo l'altra.

**Osservazione:** per una questione di visibilità, le derivate di *Figura 4.9* sono state moltiplicate per un apposita costante, mettendo così in risalto contorni che con le derivate originali sarebbero impercettibili.

Essendo il gradiente un vettore, questi ammette modulo e l'orientamento, che si ricordano essere calcolate come

$$\|\nabla I(x, y)\| = \sqrt{\Delta_x^2 I + \Delta_y^2 I} \quad \text{e} \quad \angle I = \arctan \frac{\Delta_y}{\Delta_x}$$

Considerando dunque questi ultimi, è possibile calcolare la norma e l'orientamento di un'immagine. Partendo dalla norma: essendo questa la radice quadrata della somma dei quadrati

delle derivate, effettuare la norma di un'immagine, equivale a mettere in evidenza i contorni della stessa in ogni direzione. Quanto appena detto è mostrato in *Figura 4.10* ottenuta come norma di *Figura 4.8*.

Per quel che concerne i segmenti di codici utilizzati per ricavare le immagini di *Figura 4.9* e *4.10*, questi sono di seguito riportati nel rispettivo ordine.

```
% caricamento di AirplaneGS.png
dx = conv2(AirplaneGS, [-1, 1], 'same');
figure; imshow(dx, [0, 255]);
```

```
% caricamento di AirplaneGS.png
dy = conv2(AirplaneGS, [-1, 1], 'same');
figure; imshow(dy, [0, 255]);
```

```
% dx e dy sono le immagini sin ora calcolate
normA = sqrt(dx.^2 + dy.^2);
figure; imshow(normA, [0, 255]);
```



Figura 4.10: Contorni omnidirezionali di *Figura 4.9*

**Nota:** l'utilizzo di “.” nei codici di cui sopra, è utilizzato per indicare che il quadrato non è della matrice, ma si tratta di un quadrato punto-punto.

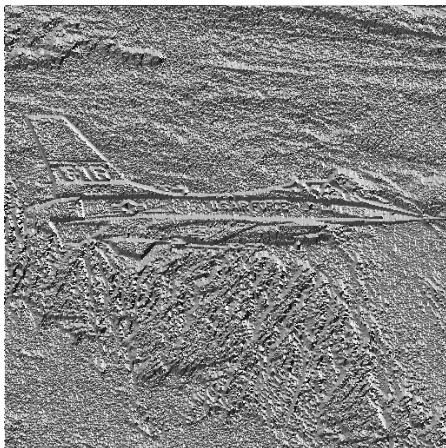


Figura 4.11: *Figura 4.9* da un punto di vista dell'orientamento dei moduli del gradiente.

Passando al considerare l'orientamento, questi è ottenuto punto per punto come arcotangente del rapporto delle due derivate, volendo dunque osservare a cosa ciò equivalga, eseguendo l'opportuno codice MATLAB, a seguire, quel che si ottiene è mostrato in *Figura 4.11*.

```
% dx e dy sono le immagini sin ora calcolate
orientation = atan2(double(dx), double(dy));
figure; imshow(orientation, [-pi, pi]);
```

### – 4.6 – Filtro laplaciano.

Similarmente a quanto fatto con il filtro gradiente, si consideri la definizione matematica di operatore di Laplace. Questa, nel caso di funzioni a due variabili, da un punto di vista analitico risulta essere

$$\nabla^2 I = \frac{\partial^2 I}{\partial x^2} + \frac{\partial^2 I}{\partial y^2}$$

Considerando ora le componenti della sua controparte discreta, per quanto detto precedentemente circa le derivate parziali nel discreto, questi risulta essere

$$\begin{aligned} \frac{\partial^2 I}{\partial x^2} &\approx \frac{\partial(I(i, j+1) - I(i, j))}{\partial x} = \dots = I(i, j+2) - 2I(i, j+1) + I(i, j) \\ \frac{\partial^2 I}{\partial y^2} &\approx \frac{\partial(I(i+1, j) - I(i, j))}{\partial y} = \dots = I(i+2, j) - 2I(i+1, j) + I(i, j) \end{aligned}$$

Si osserva però che il kernel, se realizzato così non è centrato in  $I(i, j)$  come supposto, per tale ragione ciò che si fa è traslare lo stesso in  $I(i, j)$ , secondo quanto segue.

$$\begin{aligned} \frac{\partial^2 I}{\partial x^2} &\approx I(i, j+2) - 2I(i, j+1) + I(i, j) = \Delta_x^2 I = \begin{bmatrix} 1 & -2 & 1 \end{bmatrix} \\ \frac{\partial^2 I}{\partial y^2} &\approx I(i+2, j) - 2I(i+1, j) + I(i, j) = \Delta_y^2 I = \begin{bmatrix} 1 \\ -2 \\ 1 \end{bmatrix} \end{aligned}$$



### – 4.7 – Filtri Prewitt e Sobel.

Considerando il filtro gradiente sin ora descritto, si osserva che i kernel utilizzati per il calcolo delle due derivate sono molto restrittivi. Nel caso dei filtri Prewitt e Sobel, anch'essi filtri che effettuano il gradiente di un'immagine, il kernel è realizzato così da permettere una maggior flessibilità, sebbene ciò comporta quello che si può definire un “doppio bordo”.

Per una questione di sinteticità: i due filtri sono analoghi del filtro gradiente precedentemente visto, differendo da questi e reciprocamente, per la matrice utilizzata come kernel. Queste risultano essere

$$\underbrace{\begin{bmatrix} -1 & 0 & 1 \\ -1 & 0 & 1 \\ -1 & 0 & 1 \end{bmatrix}}_{\text{Kernel Prewitt}} \quad \text{e} \quad \underbrace{\begin{bmatrix} -1 & 0 & 1 \\ -2 & 0 & 2 \\ -1 & 0 & 1 \end{bmatrix}}_{\text{Kernel Sobel}}$$

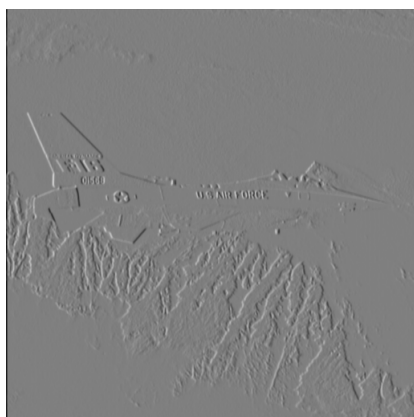
Ovviamente i kernel di cui sopra sono utilizzati per calcolare la componente Dx del rispettivo filtro, le relative trasposte quella Dy.

Si osserva inoltre che i due kernel sono a variabili separabili: cioè ottenibili come prodotto colonna-riga di opportuni vettori; nel caso dei kernel di Prewitt e Sobel si ha quanto segue.

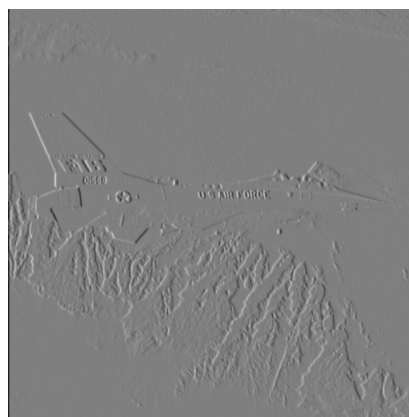
$$\begin{bmatrix} -1 & 0 & 1 \\ -1 & 0 & 1 \\ -1 & 0 & 1 \end{bmatrix} = \begin{bmatrix} 1 \\ 1 \\ 1 \end{bmatrix} \otimes \begin{bmatrix} -1 & 0 & 1 \end{bmatrix} \text{ Prewitt}$$

$$\begin{bmatrix} -1 & 0 & 1 \\ -2 & 0 & 2 \\ -1 & 0 & 1 \end{bmatrix} = \begin{bmatrix} 1 \\ 2 \\ 1 \end{bmatrix} \otimes \begin{bmatrix} -1 & 0 & 1 \end{bmatrix} \text{ Sobel}$$

Considerando pertanto l'applicazione dei due filtri, se ne riporta a seguire l'effetto su *Figura 4.8*, più precisamente si riportano in *Figura 4.12* le componenti dx dell'immagine, a seguito dell'applicazione dei filtri.



a: Componente dx di *Figura 4.8* tramite applicazione del filtro di Prewitt.



b: Componente dx di *Figura 4.8* tramite applicazione del filtro di Sobel.

Figura 4.12: Applicazione dei filtri Prewitt e Sobel.

Come precedentemente detto i filtri differiscono minimamente, risultato di ciò è il fatto che le immagini risultanti appaiono essere pressoché uguali.

## – 5 – Immagini indicizzate e quantizzazione.

Considerando le immagini sinora viste, queste sono immagini cosiddette *true color*, convertite in scala di grigio. Si osserva che la tecnologia odierna non è la stessa di 20/30 anni fa: all'epoca non era possibile rappresentare immagini con gli oltre 16 milioni di colori, che un'immagine *true color* permette oggi. Per ovviare a tale problema si sono sviluppate le *immagini indicizzate*. Queste sono immagini con un ridotto numero di colori<sup>4</sup>, in cui ciascun elemento della matrice corrispondente all'immagine non indica un livello di grigio, bensì funge da indice per una seconda matrice, la *tavolozza colori*, che specifica l'effettiva terna di colori RGB da utilizzare.

Nasce da ciò un problema: come selezionare i 256 colori in modo che il risultato sia riconducibile all'originale? Risposta a tale quesito è la *quantizzazione*, spiegata a seguire.

### – 5.1 – Quantizzazione.

La quantizzazione è un processo che permette, a partire da un'immagine *true color*, di ottenere un'immagine riconducibile all'originale, il cui numero di colori è però significativamente ridotto.

Per quanto visto sinora circa gli spazi colore, le immagini *true color* possono essere pensate come un parte dello spazio RGB, che come noto contiene oltre 16 milioni di colori. Si osserva però che, a meno di risoluzione elevate, le immagini non presenteranno mai tutti i colori: considerando ad esempio un'immagine 512 x 512, questa ammette al più circa 262 mila colori distinti, quindi rappresentare le stesse come immagini RGB comporta uno spreco significativo di memoria. Tale spreco ad oggi può risultare trascurabile date le capacità dei moderni sistemi di storage, si pensi però che la quantizzazione nasce in un periodo storico in cui le memorie avevano dimensioni molto limitate, qualche centinaio di kB, qualche MB nei casi migliori. È dunque ovvio che all'epoca era necessario ottimizzare quanto più possibile l'uso della memoria, da cui segue la nascita della quantizzazione.

Parlando del processo di quantizzazione in sé<sup>5</sup>: punto di partenza è il cubo RGB, che si assume essere l'intera immagine; il cubo è tagliato lungo il punto medio dell'asse più lungo, assicurando che un eguale numero di colori sia assegnato a ciascuno dei due nuovi cubi. Si applica ricorsivamente la procedura ai due nuovi cubi, fintanto che si ottengono 256 cubi. Fatto ciò, per ciascun cubo si considera il centroide (in alcune varianti i medoide), che rappresenterà uno dei 256 colori da utilizzare nella tavolozza.

---

<sup>4</sup>Sarà considerato il caso di immagini indicizzate a 256 colori.

<sup>5</sup>Sebbene sarà discussa la *median-cut color quantization*, questa non è l'unica tecnica applicabile. Ulteriori tecniche sono il *nearest color algorithm* e soluzioni basate su gli *octrees*.



## – 5.2 – Dithering.

La quantizzazione soffre di un problema: potrebbe capitare che a seguito della quantizzazione di un'immagine, si osservi ad esempio *Figura ??*, l'immagine quantizzata presenta dei pattern di colore che all'occhio umano risultano evidenti e sgradevoli. Segue dunque il bisogno di eliminare tali pattern, e per farlo, tra le altre tecniche, si usa il dithering. Per quanto descritto sinora,



Figura 5.1: Esempio di quantizzazione di un'immagine a scala di grigi.

risulta ovvio che un'immagine quantizzata presenta un certo errore rispetto l'originale: logica del dithering è quella di distribuire tale errore per tutta l'immagine.

Partendo con il considerare il caso di immagini in scala di grigio, l'algoritmo più utilizzato è quello originariamente proposto da *Floyd & Steinberg* nel 1976, a seguire riportato nella sua versione in MATLAB. Si consideri di applicare l'algoritmo all'immagine quantizzata mostrata in *Figura 5.1*, ciò che si ottiene è mostrato in *Figura 5.2*.

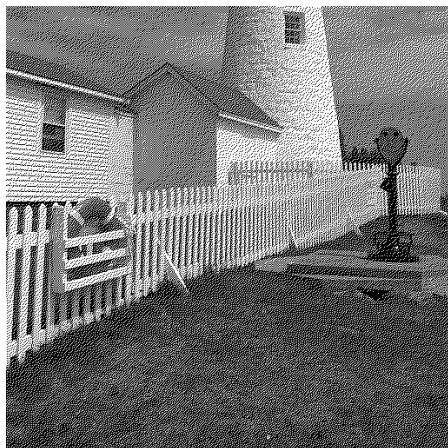


Figura 5.2: Applicazione dell'algoritmo di Floyd-Steinberg a *Figura 5.1*

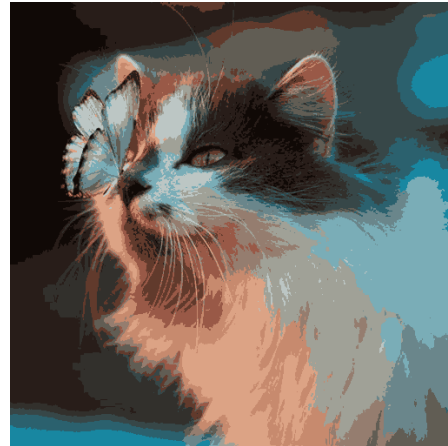
```
function img = FloydSteinberg(img)
img = double(img);
[h,w] = size(img);
for j=1 : h-1
    for i=1 : w-1
        bin = 255*(img(j,i)>127);
        err = img(j,i)-bin;
        img(j,i) = bin;
        if i<w && j<h
            img(j,i+1) = 0.375*err+img(j,i+1);
            img(j+1,i) = 0.375*err+img(j+1,i);
            img(j+1,i+1) = 0.250*err+img(j+1,i+1);
        elseif i<w
            img(j,i+1) = img(j,i+1)+err;
        elseif j<h
            img(j+1,i) = img(j+1,i)+err;
        end
    end
end
end
img = uint8(img);
```

Sebbene ad una prima visione *Figura 5.2* possa sembrare esattamente *Figura 5.1*, se osservata da vicino, si nota che le due differiscono.

Si considera ora il caso di un'immagine a colore, per farlo si considera *Figura 5.3.a*. Per



a: Immagine di un gatto a colori.



b: Quantizzazione di *Figura 5.3.a*.

Figura 5.3: Esempio di quantizzazione di un'immagine a colore.

prima cosa si applica la quantizzazione alla stessa, risultando nell'immagine di *Figura 5.3.b*. Come precedentemente detto la quantizzazione, specie nel caso di immagini a colore, presenta pattern che risultano sgradevoli, come evidente da *Figura 5.3.b*. Applicando adesso il dithering a *Figura 5.3*, quello che si ottiene è mostrato in *Figura 5.4*. Per quel che riguarda il codice MATLAB utilizzato per l'applicazione del dithering, questi è di seguito riportato ed analizzato.

```
% Caricamento di Gatto.png
[toDither, palette] = rgb2ind(Gatto, 16);
dithered = ind2rgb(toDither, palette);
figure; imshow(dithered);
```

Analizzando il codice: con `rgb2ind` si crea un'immagine indicizzata e quantizzata a  $k$  colori, 16 nel caso in esame, a partire da un'immagine RGB; l'istruzione `ind2rgb` effettua l'operazione inversa, ossia a partire da un'immagine indicizzata e dalla relativa tavolozza colori, si crea un'immagine RGB.



Figura 5.4: Dithering applicato a *Figura 5.3.b*.

## – 6 – Formati grafici.

Come noto le immagini oggi giorno sono presenti in diversi formati, si pensi al jpeg o al png. Nella presente sezione saranno discussi diversi formati video, più o meno moderni, evidenziando le caratteristiche principali di ciascuno.

### – 6.1 – HAM6 ed HAM8.

Come ormai ovvio, i computer del passato non erano in grado di mostrare a video immagini con lo stesso numero di colori di un computer moderno. In questa sezione si parlerà del metodo con cui il *Commodore Amiga*, sebbene possedeva una tavolozza di soli 16 colori, riusciva a mostrarne immagini con 4096.

Tale sproporzione nel numero di colori era permesso dal formato grafico *Hold-and-Modify*, anche noto come HAM6. Con tale formato ciascun colore era codificato con 6 bits: due, detti *control bits*, e i restanti quattro detti *data bits*. Funzione dei control bits era quella di stabilire cosa rappresentassero i data bits, permettendo le seguenti quattro possibilità:

1. i bit di controllo sono posti a 00: ciò sta ad indicare che il colore di quel pixel è uno dei 16 colori della tavolozza, allora si trattano i data bits come indice nella palette;
2. i bit di controllo sono posti a 01: modifica il blu, i valori di verde e rosso sono quelli del pixel precedente;
3. i bit di controllo sono posti a 10: modifica il rosso, i valori di verde e blue sono quelli del pixel precedente;
4. i bit di controllo sono posti a 11: modifica il verde, i valori di rosso e verde sono quelli del pixel precedente.

Tale formato presenta un grave problema: nel caso di cambi netti di colore si verificano delle “strisciate” nel colore, questo ovviamente perché può cambiare un solo colore per volta. Per risolvere tale problema, o quantomeno ridurre la possibilità che questi si verificasse, fu sviluppato SHAM6. Con tale formato la tavolozza non era più da utilizzare per l'intera immagine, quanto più di riga: cioè per ogni riga dell'immagine si creava una tavolozza colori propria della riga, secondo l'idea che verosimilmente buona parte dei pixel della riga avrebbero avuto un colore presente nella tavolozza.

Con l'evolversi della tecnologia si passo da SHAM6 ad HAM8. Questi adoperando analogamente ad HAM6, semplicemente aggiungendo due data bits, permetteva da una tavolozza di 64 colori, di mostrarne oltre 262 mila.

## – 6.2 – GIF.

Il formato GIF venne sviluppato per la prima volta nel 1987. La nascita di tale formato, di cui a seguito si spiegherà il funzionamento, era dovuto al fatto che il formato BMP, allora utilizzato per la trasmissioni di immagini, non era sufficientemente prestate: poiché internet si stava sempre più diffondendo era necessario che la trasmissione delle immagini avvenisse quanto più velocemente possibile.

**Nota:** premettendo che il formato trasmette immagini indicizzate, quest'ultime possono essere a 256, 16 o 2 colori. Nel resto della discussione sarà considerato il caso di immagini a 256 colori, ma un ragionamento analogo lo si può applicare per gli altri casi.

Analizzando pertanto il formato, alla base di questi vi è l'algoritmo di Lempel-Ziv-Welch. Quello che fa l'algoritmo è, a partire dagli indici dell'immagine da trasmettere, crea un dizionario (lo si pensi ad un array bidimensionale). Partendo dal pixel in alto a sinistra, si legge l'indice a cui questi fa riferimento, essendo ovviamente questi uno dei 256 indici di partenza, si trasmette il pixel, ripetendo lo stesso ragionamento per il pixel alla sua destra. Letti questi due indici, l'algoritmo suppone che la successione dei due si ripeterà nell'immagine, è crea così un nuovo indice, il 257-esimo, che conterrà gli indici ai due pixel appena trasmessi. Procede con il leggere l'indice del pixel successivo, verifica a se questi rientra nei primi 256, e lo trasmette. Dopo la trasmissione di quest'ultimo, si presentano due possibilità: un'indice  $I$  del dizionario contiene già gli indici del pixel trasmesso e del suo successivo, in questo caso si “annulla” la trasmissione del l'indice del pixel e si trasmette l'indice  $I$ ; nel dizionario non è presente nessun indice che faccia riferimento all'indice del pixel e al suo successivo, si crea allora un indice  $I'$  che conterrà gli ultimi due indici trasmessi.

**Esempio:** Con il mero scopo di dare un'illustrazione grafica dell'algoritmo precedentemente descritto, si consideri *Figura 6.1*.

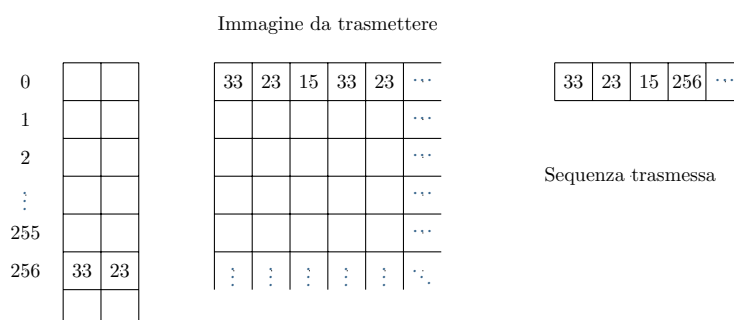


Figura 6.1: Esempio di operatività dell'algoritmo di Lempel-Ziv-Welch.

Come detto i due pixel in alto a sinistra sono trasmessi appena letti, così anche il pixel 15, poiché non esiste ancora un'indice che lo contenga. Successivamente letto nuovamente il pixel 33, che dovrebbe essere trasmesso, si verifica che il pixel che lo segue non dia vita ad un indice del dizionario, poiché lo fa, anziché trasmettere 33 si trasmette 256.

Quanto sinora descritto è noto come *GIF 87a*: denominato così per via dell'anno di rilascio e poiché si supponeva di rilasciarne una nuova versione nello stesso anno. Tale release però non avvenne, infatti la successiva versione del formato richiese ulteriori due anni di sviluppo, anni che portarono all'ormai consolidato *GIF 89a*.

**Osservazione:** GIF 87a presenta un sostanziale problema, via via che si creano nuovi indici, questi richiedono sempre più bit per essere rappresentati, venendo così meno la compressione. Per risolvere tale problema vi sono due possibilità: la prima consiste nell'ignorarlo; la seconda prevede, raggiunta una soglia limite, di trasmettere una segnale con il quale si resetta il dizionario.

Analizzando questa nuova versione, GIF 89a introdusse le seguenti funzionalità.

- Trasmissione interlacciata: era necessario poter visualizzare le immagini sempre più velocemente, si penso allora di trasmettere le immagini secondo quanto segue. Si trasmette la prima riga per altre 15, poi la 17-esima per altre 15 righe e così via fino a giungere alla fine dell'immagine. Giunti alla fine, a partire dalla prima ripetizione, si trasmette la riga che nell'immagine originale equivale a quella di mezzo della ripetizione.
- Trasparenza: da non confondere con il fattore alpha, questi stabiliva se nella trasmissione dell'immagine si dovesse o meno visualizzare un determinato pixel.
- Animazioni: si penso sfruttando la trasparenza, di includere delle animazioni. L'idea nasceva dal fatto che si supposeva che i fotogrammi componenti l'immagine differissero per pochi dettagli, dunque sfruttando la trasparenza si poteva trasmettere solo quell'insieme di pixel che formavano il dettaglio.